

## К ВОПРОСУ О МНОГОКВАРКОВЫХ КОНФИГУРАЦИЯХ В ЯДРАХ

*В.Р.Гарсеванишвили, З.Р.Ментешашвили*

В работе показано, что учетом рассеяния на бесцветных многокварковых образованиях в ядрах можно объяснить наблюдаемое отклонение от единицы отношения структурных функций различных ядер. Характерной особенностью рассматриваемой модели является возможность существования в ядре сверхбыстрого кварка, несущего в экстремальной ситуации весь импульс ядра.

Исследования последних лет привели к выводу о неполноте представлений о ядрах, как о системах квазинезависимых нерелятивистских нуклонов и потребовали как релятивистского описания движения самих нуклонов, так и рассмотрения кварковых степеней свободы в ядрах. Сюда следует отнести в первую очередь предсказание <sup>1</sup> и обнаружение <sup>2</sup> кумулятивного рождения частиц в адрон-ядерных и ядро-ядерных соударениях и степенное падение упругих формфакторов легких ядер при больших передачах импульса <sup>3</sup> в соответствии с предсказаниями правил кваркового счета <sup>4</sup>. Значительные отличия в поведении кварковых функций распределения ядер с различными атомными номерами и нетривиальная  $A$ -зависимость сечений кумулятивных процессов свидетельствуют о различном характере проявления кварковых степеней свободы в этих ядрах <sup>5</sup>. На это же указы-

вают результаты недавних экспериментов по глубоконеупругому лептон-ядерному рассеянию (так называемый *EMC*-эффект<sup>6</sup>, см., также некоторые теоретические попытки объяснения этого явления<sup>7</sup>). Указанные закономерности имеют, по-видимому, общую природу<sup>8</sup> и обусловлены возможностью образования в ядрах многоквартковых конфигураций (многоквартковых мешков).

Рассмотрим глубоконеупругое рассеяние заряженных лептонов на ядре  $A$ . Будем предполагать, что в ядре наряду с нуклонами с определенной вероятностью образуются квартковые мешки с шестью, девятью и т. д. квартками<sup>9, 10</sup> и лептоны взаимодействуют с квартками из какого-нибудь из таких мешков. Тогда структурная функция ядра может быть представлена в виде

$$F_2(x) = \sum_{k=1}^A N(A, K) F_2^K(x), \quad (1)$$

где  $F_2^K$  – структурная функция ядра  $A$ , содержащего  $3K$ -квартковый мешок и  $A - K$ -нуклонов. Коэффициенты  $N(A, K)$  имеют смысл эффективных чисел  $3K$ -квартковых мешков в ядре  $A$  и могут быть параметризованы в виде распределения Бернули

$$N(A, K) = \frac{A!}{K!(A-K)!} p(A)^{K-1} [1-p(A)]^{A-K}. \quad (2)$$

Будем считать, что параметр  $p(A)$  определяется отношением объема кварткового мешка к объему ядра<sup>11</sup>:  $p(A) = r_K^3 / (R_0 A^{1/3})^3 \approx 0,187 A^{-1}$ . Здесь мы положили радиус мешка  $r_K$  близким к радиусу нуклона  $r_K \approx 0,8 \Phi$  и  $R_0 \approx 1,4 \Phi$ .

Расчет структурных функций  $F_2^K$  в глубоконеупругом пределе приводит для функций распределения квартков  $f^K(x)$ , определенных согласно

$$F_2^K(x) = \langle e_q^2 \rangle_x f^K(x) \quad (3)$$

( $\langle e_q^2 \rangle$  – среднее значение квадрата заряда квартков), к следующему выражению<sup>12</sup>:

$$f^K(x) = \frac{3K}{A} I_K(x_A) / \int_0^1 dx_A I_K(x_A); \quad K = 1, 2, \dots, A-1, \quad (4)$$

$$f^A(x) = 3(3A-1)(1-x_A)^{3A-2},$$

где

$$I_K(x_A) = \int_{x_A}^1 dZ_K \frac{(1-Z_K)^{A-K-1}}{1 + \frac{\beta_K}{\alpha_A} (1-Z_K)} \left(1 - \frac{x_A}{Z_K}\right)^{3K-2}.$$

Переменная  $x_A = Q^2 / 2M_A v$  меняется в интервале  $0 < x_A < 1$  и связана с бьеркеновской переменной  $x$  соотношением  $x_A = x/A$ . Очевидно, что  $0 < x < A$ .

Характерной особенностью функций распределения  $f^K(x)$  является возможность существования в ядре сверхбыстрого квартка, несущего в экстремальной ситуации весь импульс ядра  $A$ . В более подробной публикации будут приведены результаты расчетов, где структурные функции многоквартковых образований рассчитаны с учетом квантовохромодинамических поправок к правилам кварткового счета.

Параметры  $\alpha_A$  и  $\beta_K$ , определяют импульсные распределения нуклонов в ядре и квартков в мешке, соответственно, при следующей параметризации релятивистских волновых функций<sup>13</sup> ядра  $\phi_A$  и кварткового мешка  $\phi_{3K}$

$$\phi_A([x_i; p_{i,\perp}]) \sim \exp \left\{ -\alpha_A \sum_{i=1}^A [(p_{i,\perp}^2 + M_i^2)/x_i] \right\},$$

$$\phi_{3K}([z_j; k_{j,\perp}]) \sim \exp \left\{ -\beta_K \sum_{j=1}^{3K} [(k_{j,\perp}^2 + m_j^2)/z_j] \right\}$$

и могут быть связаны с радиусами ядра и 3К-кваркового мешка. Как видно из (4) структурные функции зависят от отношения параметров

$$\beta_K / \alpha_A = (A/3K)(r_K^2/R_A^2) = (r_K^2/3R_0^2)(A^{1/3}/K).$$

На рис. 1 приведены экспериментальные данные <sup>14</sup> по отношению сечений  $\sigma_A/\sigma_D$  глубоконеупротого рассеяния для нескольких различных ядер и теоретические кривые для отношения  $R = F_2(A)/F_2(D)$ , соответствующие расчету по формулам (1) – (4) (каждая из функций  $F_2(A)$  делится на свой атомный вес). Более корректное сравнение этих величин требует, вообще говоря, учета вклада в сечения структурной функции  $F_1$ . На рис. 2 представлены  $A$ -зависимости этих же отношений при различных значениях  $x$ .

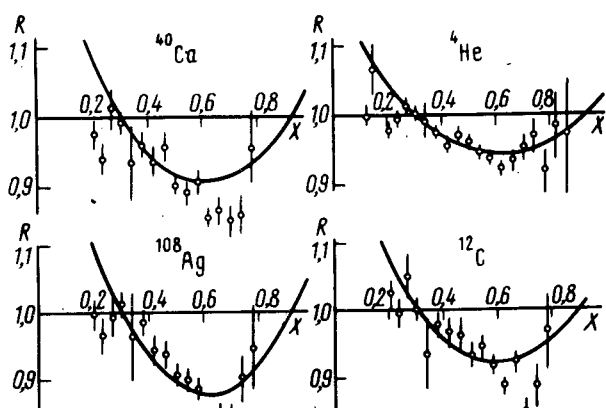


Рис. 1

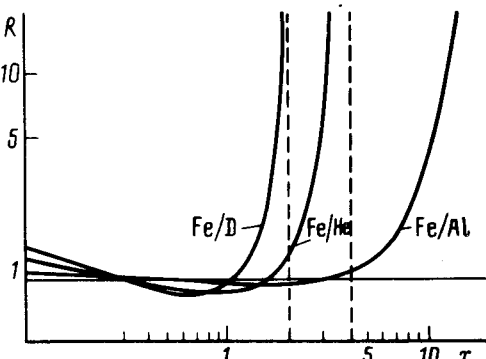


Рис. 3

Рис. 3. Отношения структурных функций разных ядер во всей области значений переменной  $x/0 < x < A$

Обращает на себя внимание замеченная в <sup>8</sup> аналогия в  $x$ -поведении отношения сечений рождения кумулятивных пинов на различных ядрах и отношения структурных функций глубоконеупротого рассеяния на этих же ядрах. При этом данные по кумулятивному рождению позволяют исследовать область  $x > 1$ , не достигнутую пока в экспериментах по глубоконеупротому рассеянию. Нами были рассчитаны отношения  $F_2(\text{Fe})/F_2(\text{D})$ ,  $F_2(\text{Fe})/F_2(\text{He})$ ,  $F_2(\text{Fe})/F_2(\text{Al})$  во всей области изменения кинематической переменной  $x$  ( $0 < x < A$ ).

Рис. 1. Отношения структурных функций ядер <sup>4</sup>He, <sup>12</sup>C, <sup>40</sup>Ca, <sup>108</sup>Ag к структурной функции дейтрана. Экспериментальные данные работы <sup>14</sup>

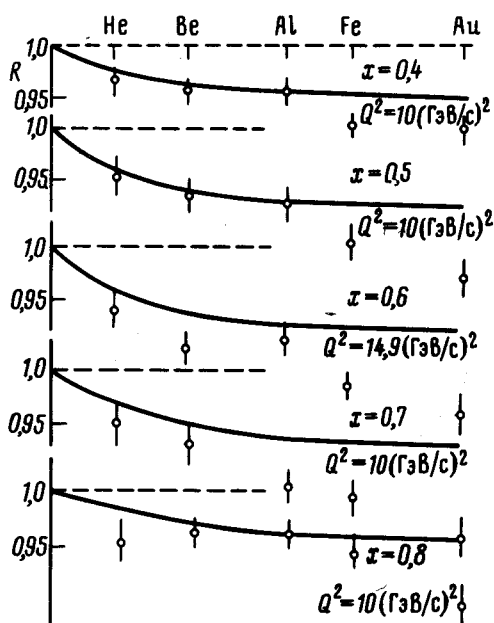


Рис. 2.  $A$ -зависимость отношения  $R = F_2(A)/F_2(\text{D})$  при различных значениях

Кривые этих расчетов в дважды логарифмическом масштабе представлены на рис. 3. Отметим, что в области  $x > 1$  предсказания различных моделей носят различный характер.

Авторы выражают глубокую благодарность А.М.Балдину, А.Н.Тавхелидзе за стимулирующий интерес к затронутым здесь вопросам и плодотворные обсуждения, П.Н.Боголюбову, С.Б.Герасимову, Т.И.Копалейшвили, В.А.Матвееву, Л.А.Слепченко, Ф.Г.Ткебучава за интерес к работе и весьма полезные обсуждения.

### Литература

1. Балдин А.М. Краткие сообщения по физике, 1971, 1, 35.
2. балдин А.М. и др. Препринт ОИЯИ Р1;Дубна, 1971.
3. Amold R. et al. Phys. Rev. Lett., 1975, 35, 776.
4. Matveev V.A., Muradyan R.M., Tavkhelidze A.N. Lett. Nuovo Cim., 1973, 7, 719; Brodsky S.J., Farrar C. Phys. Rev. Lett., 1973, 31, 1153.
5. Baldin A.M. In: Proc. of the 1981 CERN–JINR School of Physics, Hanko, Finland, 1981, CERN 82 - 84, Geneva, 1982.
6. Aubert J.J. et al. Phys. Lett., 1983, 123B, 275; Bodek A. et al. Phys. Rev. Lett., 1983, 50, 1431.
7. Jaffe R.K. Phys. Rev. Lett., 1983, 50, 228, Carlson C.M Havens T. Phys. Rev. Lett., 1983, 51, 261; Titov A.I. tov A.I. Preprint JINR E2-83-460, Dubna, 1983; Кондратюк Л.А., Шматиков М.Ж. Письма в ЖЭТФ, 1984, 39, 324; Bondarchenko E.A., Efremov A.V. Preprint JINR E2-84-124, Dubna, 1984.
8. Baldin A.M. Preprint JINR E2-83-415, Dubna, 1983.
9. Лукъянов В.К., Титов А.И. ЭЧАЯ, 1979, 10, 815.
10. Ефремов А.В. ЭЧАЯ, 1982, 13, 613.
11. Балдин А.М. ЭЧАЯ, 1977, 8, 429.
12. Gersevanishvili V.R., Menteshashvili Z.R. Preprint JINR E2-84-374, Dubna, 1984.
13. Гарсеванишвили В.Р., Ментешашвили З.Р., Мирианашвили Д.Г., Ниорадзе М.С. ТМФ, 1977, 33, 276; ЭЧАЯ, 1984, 15, 1111.
14. Amold R. et al. Preprint SLAC-PUB-3257, Stanford, 1983.

Поступила в редакцию

4 июня 1984 г.

После переработки

13 сентября 1984г.

Институт физики высоких энергий  
Тбилисского  
государственного университета